



B

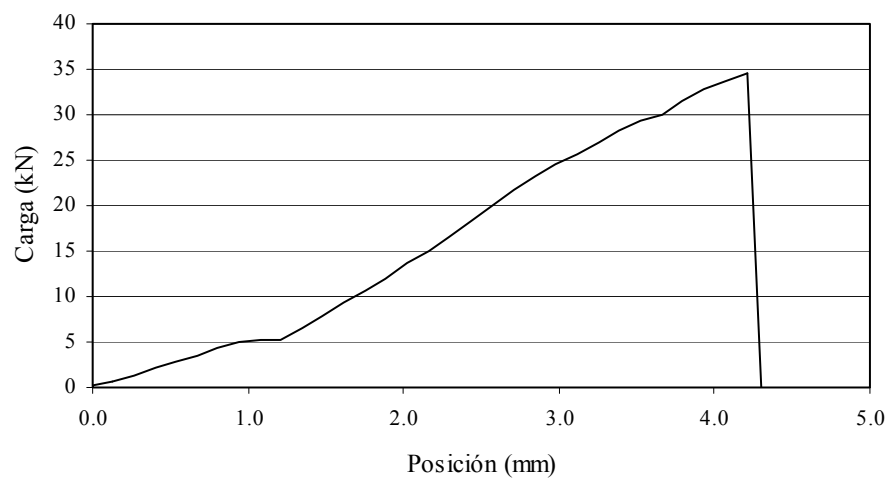
Anejo

**Gráficas de Comportamiento
de los Ensayos con Modelos
Reducidos**

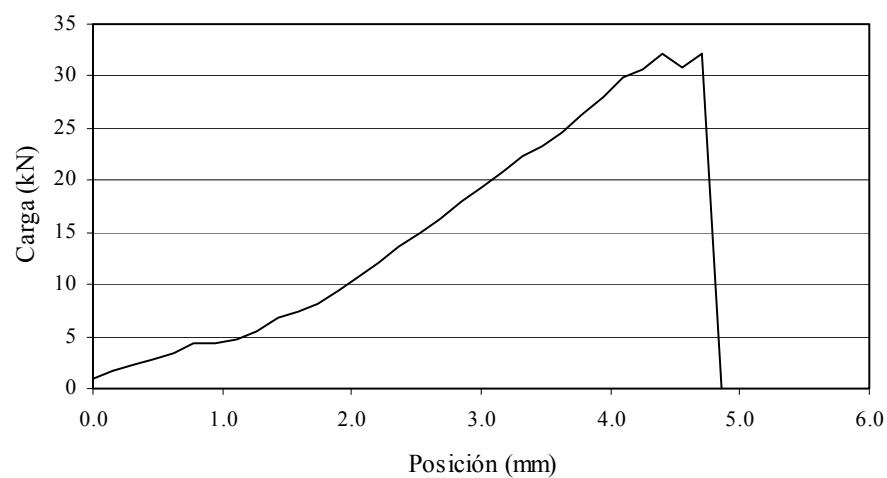
Anejo B. Gráficas de Comportamiento de los Ensayos con Modelos Reducidos

En este apartado se muestran las gráficas correspondientes a los ensayos de adherencia presentados en este trabajo de investigación. Al final de la sección se recogen los resultados en una tabla resumen.

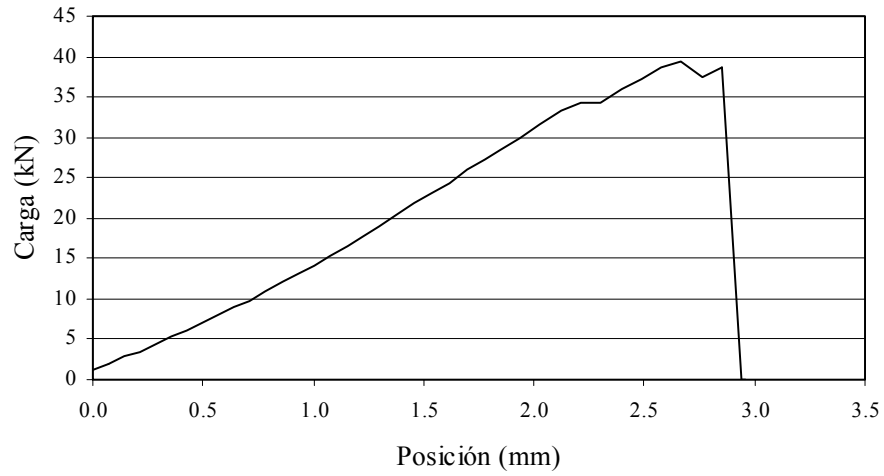
Gráfica Carga-Posición del pistón, probeta TFC1-1



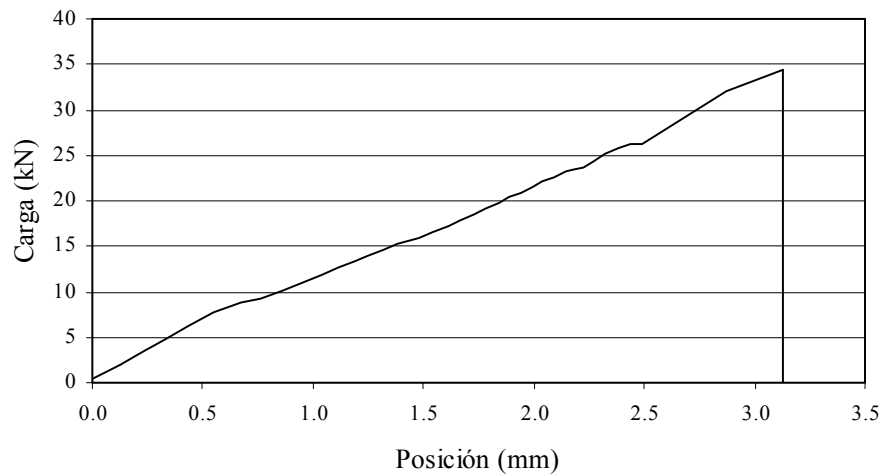
Gráfica Carga-Posición del pistón, probeta TFC1-2



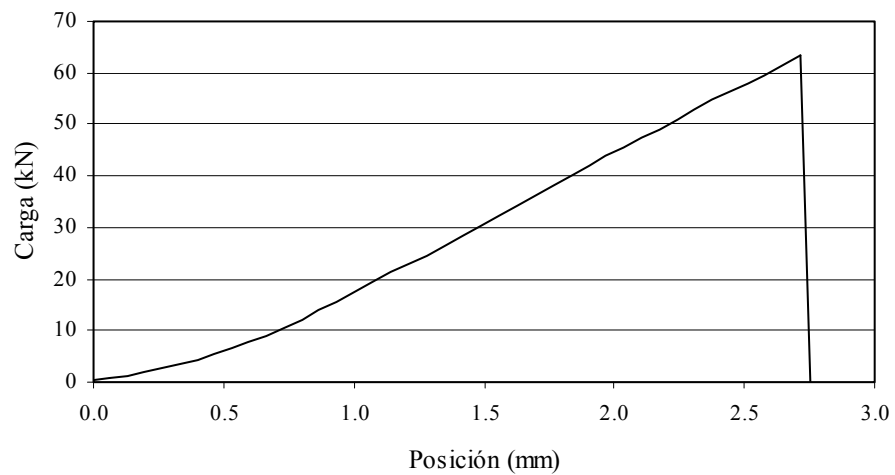
Gráfica Carga-Posición del pistón, probeta TFC1-3



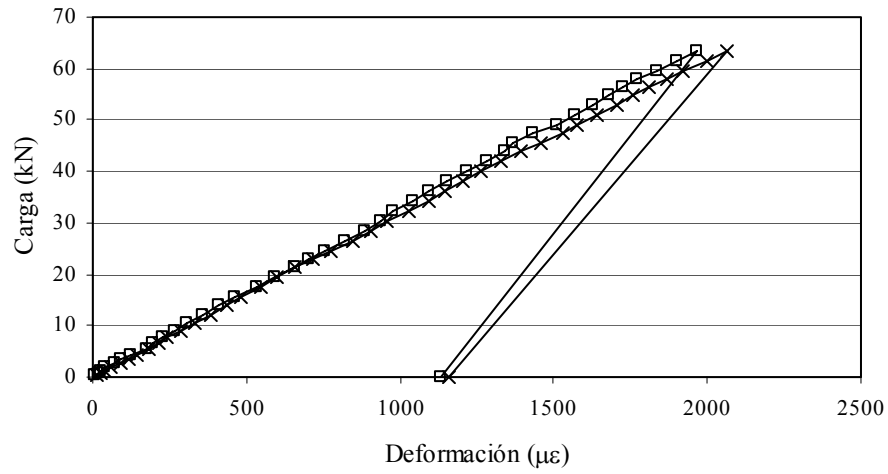
Gráfica Carga-Posición del pistón, probeta TFC1-4



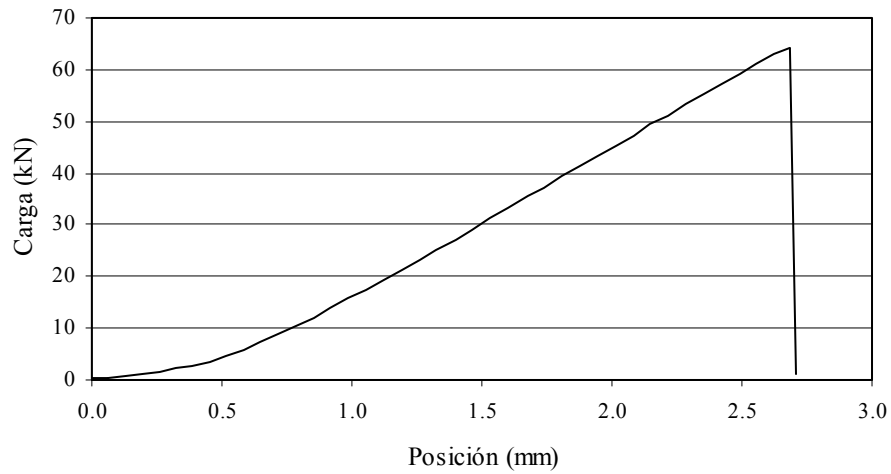
Gráfica Carga-Posición del pistón, probeta CFK1-1



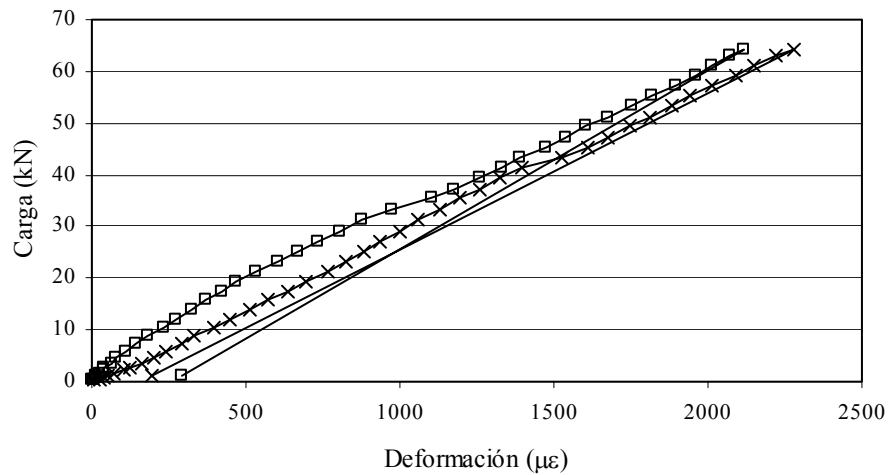
Gráfica Carga-Deformación del CFRP, probeta CFK1-1



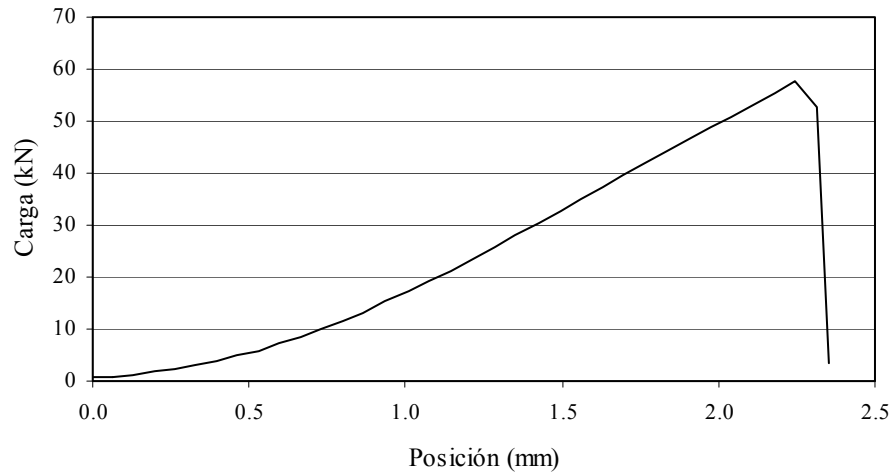
Gráfica Carga-Posición del pistón, probeta CFK1-2



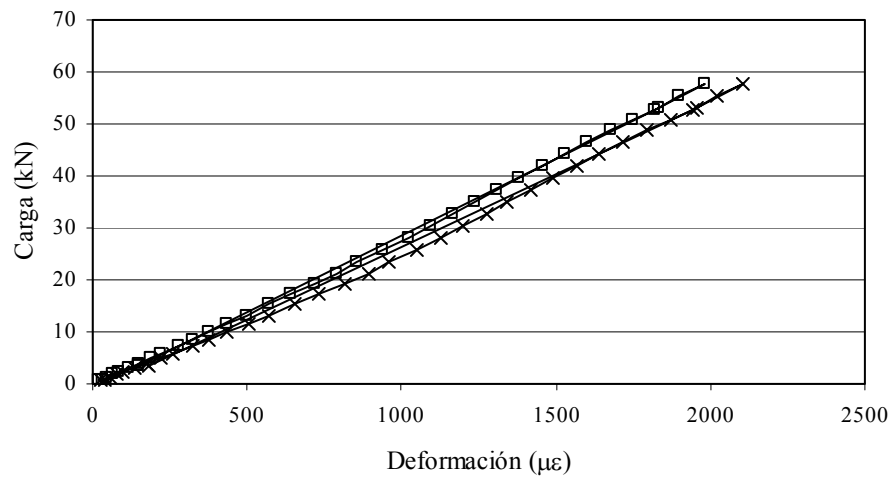
Gráfica Carga-Deformación del CFRP, probeta CFK1-2



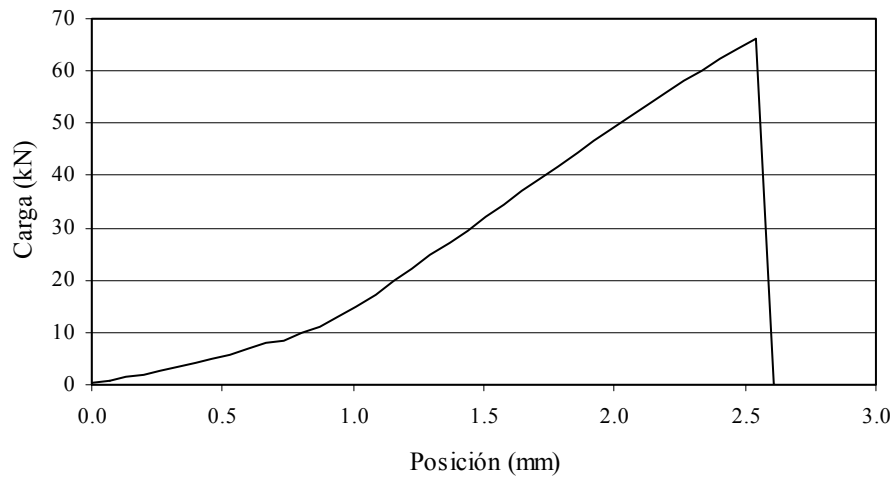
Gráfica Carga-Posición del pistón, probeta CFK1-3



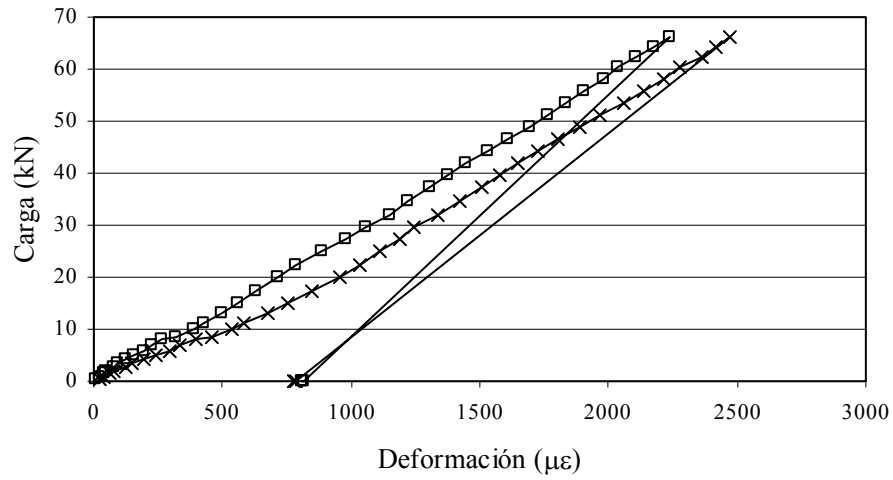
Gráfica Carga-Deformación del CFRP, probeta CFK1-3



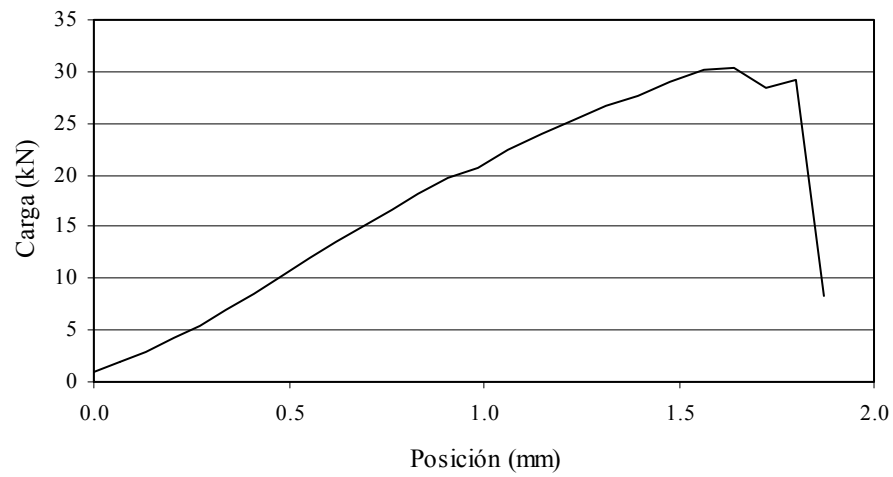
Gráfica Carga-Posición del pistón, probeta CFK1-4



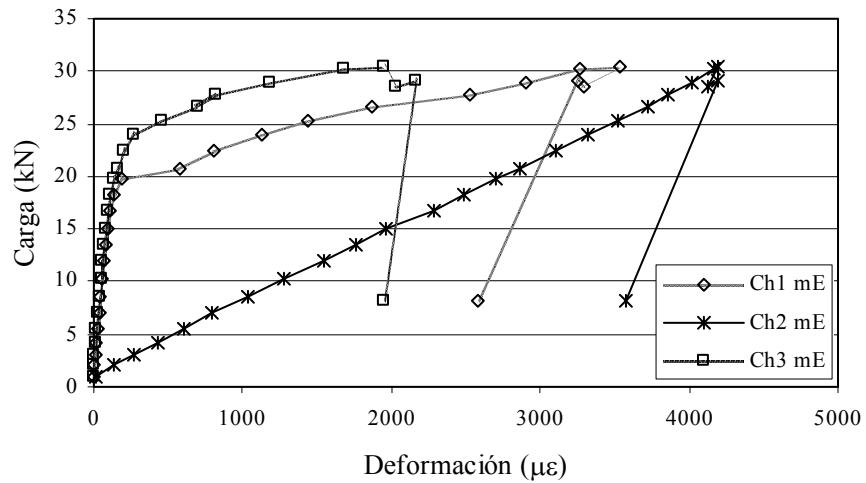
Gráfica Carga-Deformación del CFRP, probeta CFK1-4



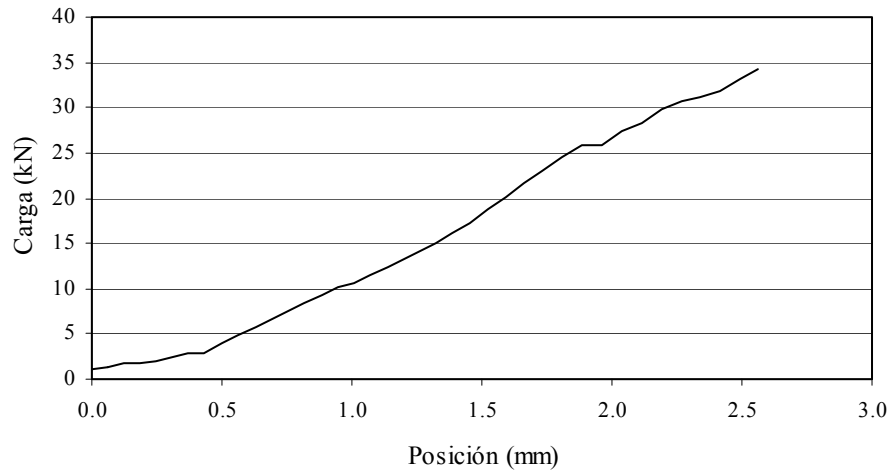
Gráfica Carga-Posición del pistón, probeta TFC2-1



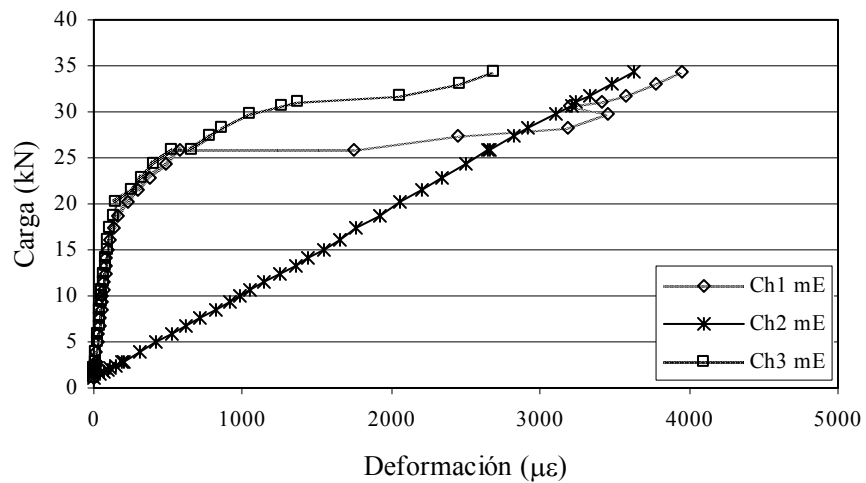
Gráfica Carga-Deformación del CFRP, probeta TFC2-1



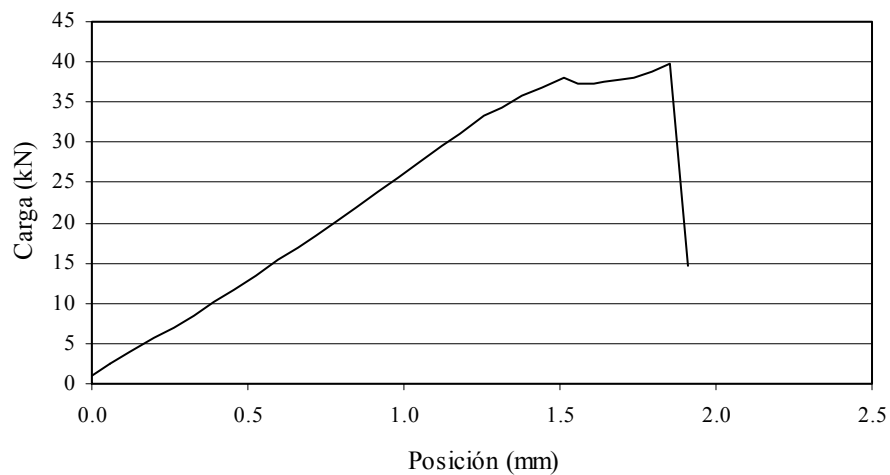
Gráfica Carga-Posición del pistón, probeta TFC2-2, etapa 1



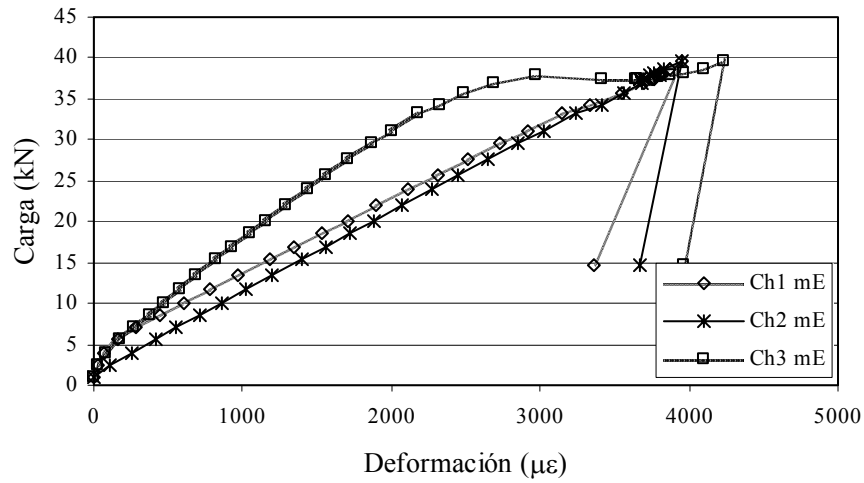
Gráfica Carga-Deformación del CFRP, probeta TFC2-2, etapa 1



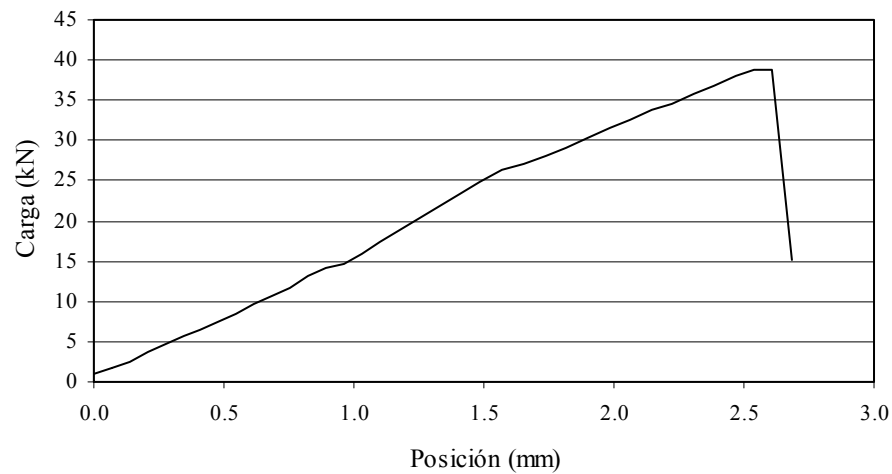
Gráfica Carga-Posición del pistón, probeta TFC2-2, etapa 2



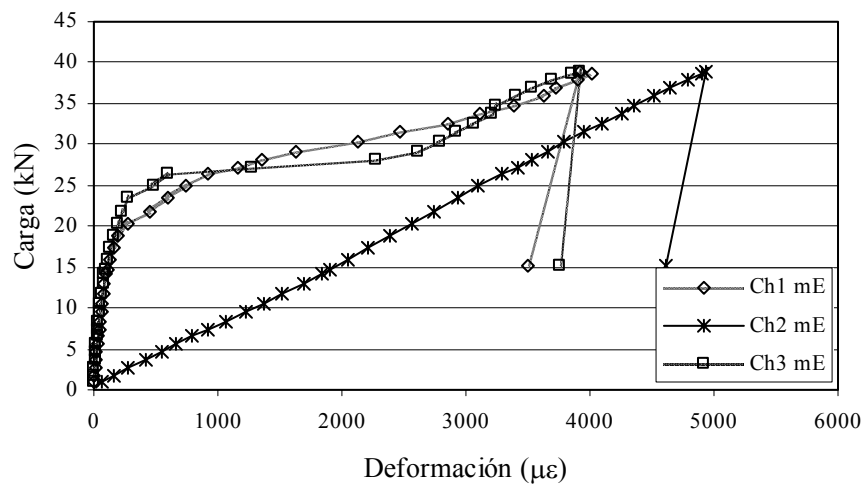
Gráfica Carga-Deformación del CFRP, probeta TFC2-2, etapa 2



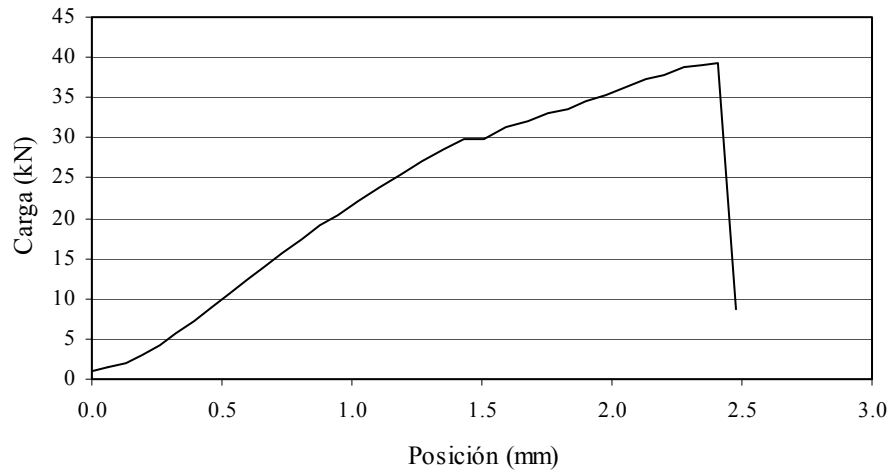
Gráfica Carga-Posición del pistón, probeta TFC2-3



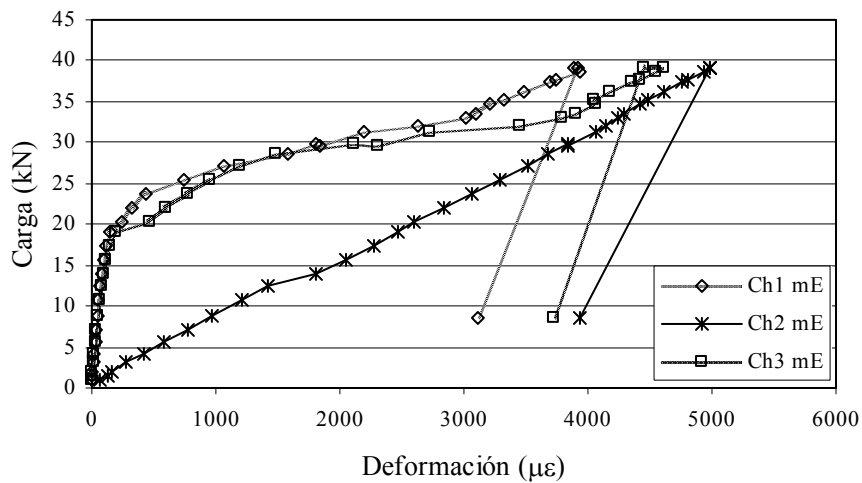
Gráfica Carga-Deformación del CFRP, probeta TFC2-3



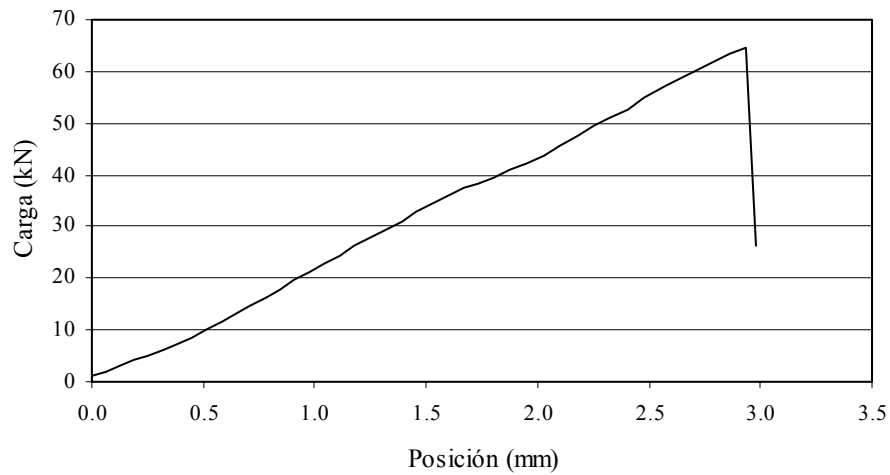
Gráfica Carga-Posición del pistón, probeta TFC2-4



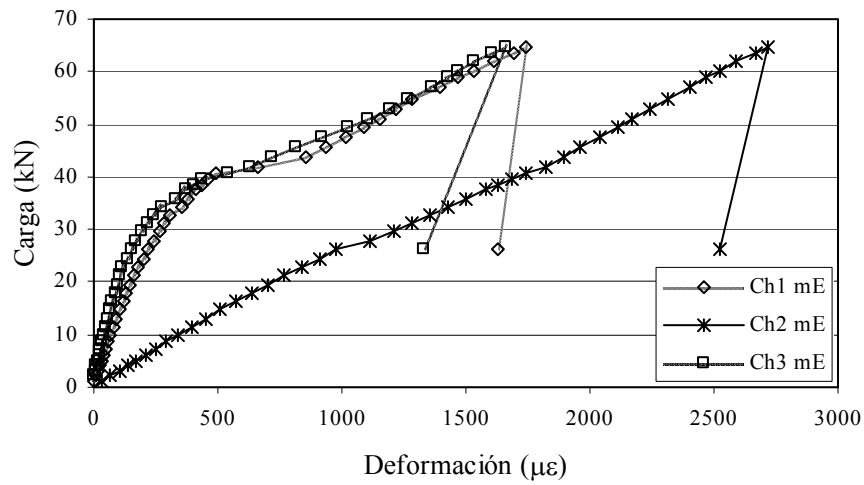
Gráfica Carga-Deformación del CFRP, probeta TFC2-4



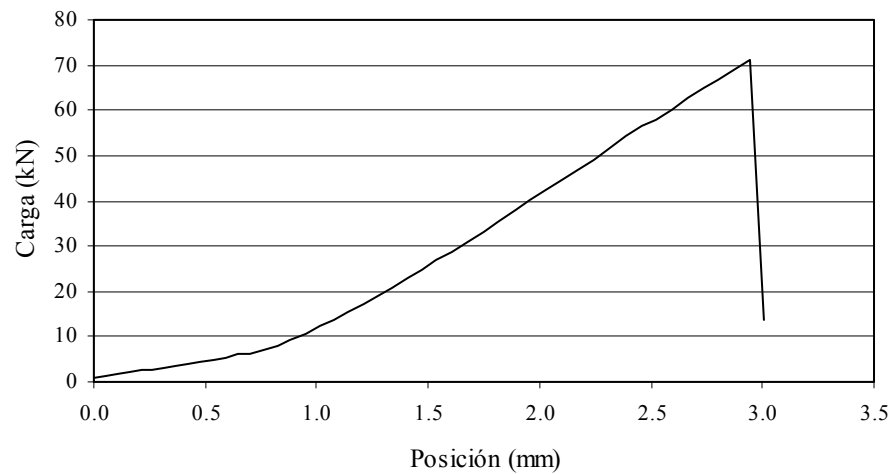
Gráfica Carga-Posición del pistón, probeta CFK2-1



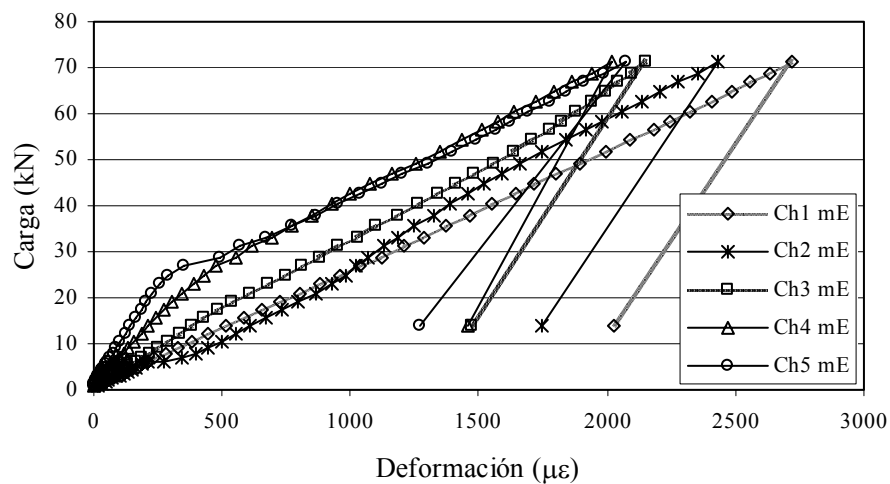
Gráfica Carga-Deformación del CFRP, probeta CFK2-1



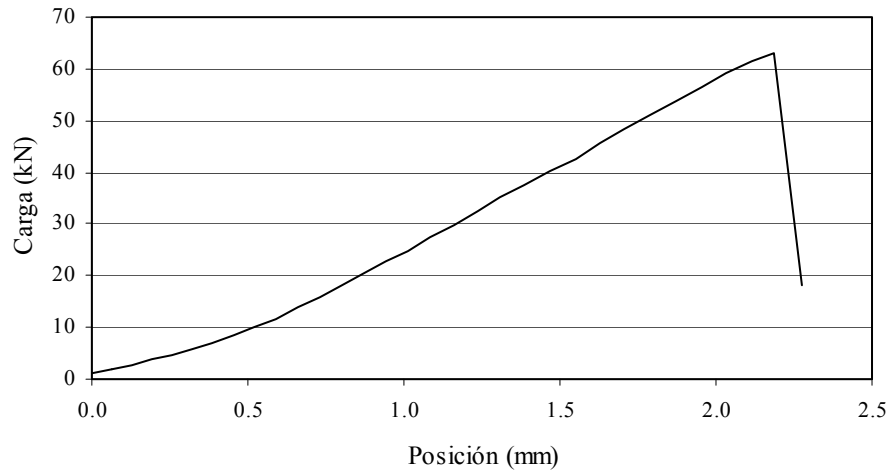
Gráfica Carga-Posición del pistón, probeta CFK2-2



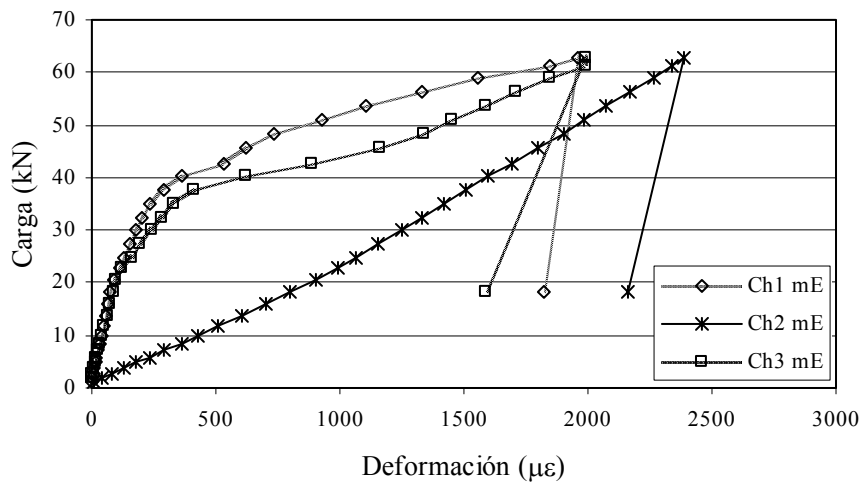
Gráfica Carga-Deformación del CFRP, probeta CFK2-2



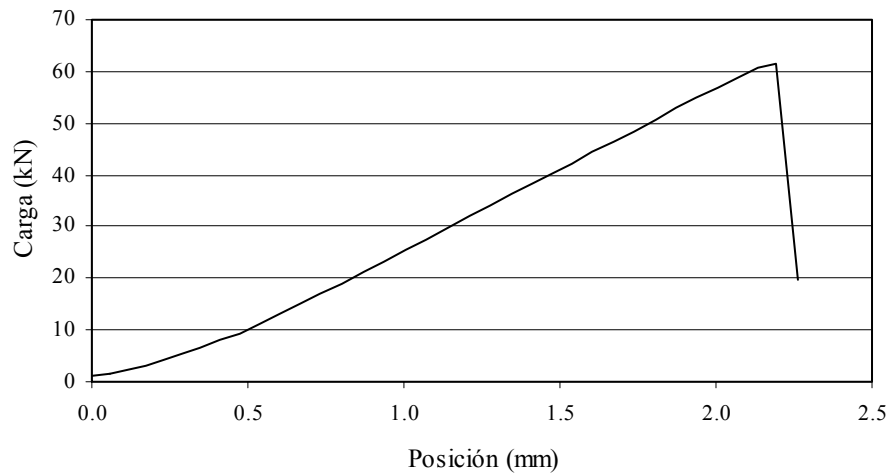
Gráfica Carga-Posición del pistón, probeta CFK2-3



Gráfica Carga-Deformación del CFRP, probeta CFK2-3



Gráfica Carga-Posición del pistón, probeta CFK2-4



Gráfica Carga-Deformación del CFRP, probeta CFK2-4

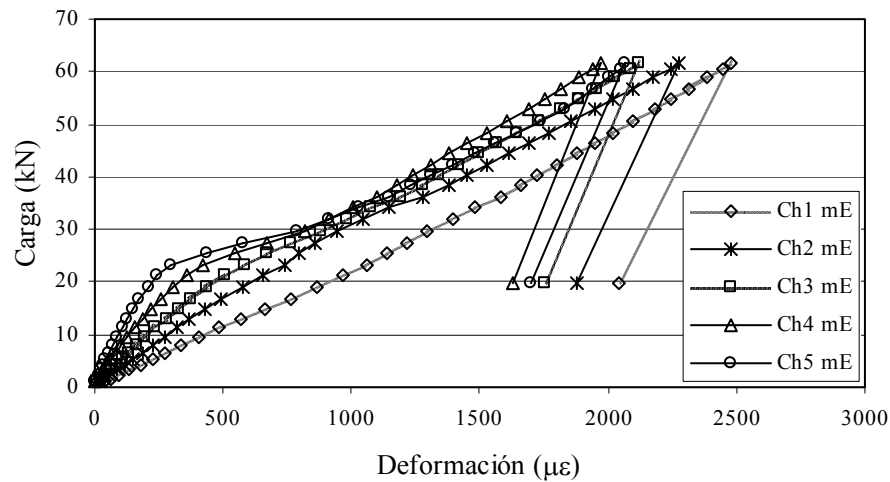


Tabla B1. Resumen de resultados y datos estadísticos de los ensayos de adherencia.

TFC					
Probeta	Serie 1		Probeta	Serie 2	
	f_{yu} (MPa)	ϵ_{uf} ($\mu\epsilon$)		f_{yu} (MPa)	ϵ_{uf} ($\mu\epsilon$)
TFC1-1	466.5	-	TFC2-1	473.6	4200
TFC1-2	433.7	-	TFC2-2	548.1	3900
TFC1-3	-	-	TFC2-3	536.3	4900
TFC1-4	-	-	TFC2-4	541.0	5000
<i>Promedio</i>	<i>450.1</i>	-	<i>Promedio</i>	<i>524.8</i>	<i>4500</i>
<i>D. Estándar</i>	<i>23.1</i>	-	<i>D. Estándar</i>	<i>34.4</i>	<i>535</i>
<i>Varianza</i>	<i>5%</i>	-	<i>Varianza</i>	<i>7%</i>	<i>12%</i>

CFK					
Probeta	Serie 1		Probeta	Serie 2	
	f_{yu} (MPa)	ϵ_{uf} ($\mu\epsilon$)		f_{yu} (MPa)	ϵ_{uf} ($\mu\epsilon$)
CFK1-1	329.5	2000	CFK2-1	353.8	2700
CFK1-2	334.8	2200	CFK2-2	376.7	2700
CFK1-3	299.8	1900	CFK2-3	336.3	2400
CFK1-4	344.8	2400	CFK2-4	328.8	2500
<i>Promedio</i>	<i>327.2</i>	<i>2125</i>	<i>Promedio</i>	<i>348.9</i>	<i>2575</i>
<i>D. Estándar</i>	<i>19.3</i>	<i>221</i>	<i>D. Estándar</i>	<i>21.2</i>	<i>150</i>
<i>Varianza</i>	<i>6%</i>	<i>10%</i>	<i>Varianza</i>	<i>6%</i>	<i>6%</i>